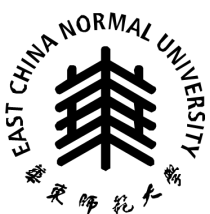


届研究生硕士学位论文

分类号： 学校代码：

密级： 学号：



华东師範大學

硕士学位论文

基于课堂录像的教师风格画像分析系 统

院	系	计算机科学与技术学院
专	业	计算机应用技术
研究方向		格式学
指导教师		李四教授
学位申请人		张三

年月日

EAST CHINA NORMAL UNIVERSITY



摘要

在教育数字化转型的浪潮中，海量课堂录像数据亟待被有效利用以赋能教学。教师教学风格是影响课堂质量的关键因素，但传统评价方法主观性强、反馈滞后、覆盖面窄，难以满足智慧教育环境下对客观、实时、可量化课堂反馈的需求。为此，本研究设计并实现了一个基于多模态深度学习的教师教学风格画像分析系统，旨在提供客观、精细、可解释的智能评价新范式。

现有课堂分析技术：单模态视频或音频难以全面刻画教学风格；简单融合策略效果有限——特征拼接或结果加权忽略了模态间的交互关系；风格识别结果缺乏可解释性——难以理解模型决策依据和特征贡献度。

针对上述挑战，本研究提出了，**语义层次化注意力画像引擎**，通过语义驱动分段、层次化教学意图识别和跨模态注意力机制实现特征的自适应融合与风格的精准画像。具体创新包括：

数据分段策略优化：提出语义驱动的话语分段策略，通过依存句法分析和话语边界检测，保持教学话语的语义完整性（完整率从提升至），使教学意图识别值提升，风格识别准确率提升；

音频模态：不仅将音频用于语音情绪识别，在课堂场景下进行微调，使用自动语音识别（，语音转文字）技术将音频转化为文本模态，为意图识别打下基础。

文本模态：引入基于的层次化细粒度对话行为识别（），采用两层分类架构（粗分类类细分类类），将传统的类粗糙分类扩展为类细粒度分类（包括启发性提问、逻辑推导、概念定义、案例分析等），更有效地捕捉不同教学风格的特征性语言模式，值比关键词规则方法提升；

视觉模态：使用算法实现稳定的教师身份追踪，并采用时空图卷积网络对骨骼序列进行时序建模，相比单帧规则识别准确率提升个百分点；

智能融合与解释：设计的通过跨模态注意力机制自适应地融合视觉、音频、文本特征，并结合注意力权重与可解释性分析，提升模型决策依据的可追溯性。

在自建的教师风格数据集（个样本，类风格）上，在风格识别任务中取得了的准确率，显著优于单一模态方法（最佳单模态，提升个百分点）和简单融合方法（特征拼接，提升个百分点；结果加权，提升个百分点）。消融实验进一步证实，语义驱动分段策略使风格识别准确率提升个百分点，跨模态注意力模块的移除导致性能下降个百分点 ($p < 0.01$)，验证了这些改进的有效性。

【模态重要性分析】 可解释性分析揭示了不同教学风格对各模态的依赖模式存在显著差异：情感表达型教师最依赖音频特征（权重），互动导向型最依赖视觉特征（权重），逻辑推导型最依赖文本特征（权重）。这些发现揭示了不同风格的多模态特征依赖模式。

本系统能够生成直观、可追溯的教师风格画像（风格雷达图、模态贡献度分析、典型片段回放），为教师风格认知和教学研究提供了科学、客观、精细化的数据支撑。

关键词：教师教学风格；多模态学习分析；跨模态注意力；深度学习；可解释人工智能

—
 $p < 0.01$

目录

摘要
.....
图目录
表目录
第论章
研究背景及意义
国内外研究现状
教师教学风格：从理论分类到计算建模
课堂多模态分析技术的发展
语音与语义分析技术
视频与行为识别技术
新兴技术：注意力机制与实时分析
多模态融合方法：从简单拼接到跨模态交互
早期融合策略
注意力机制驱动的跨模态交互
可解释性与轻量化趋势
现有研究的不足与发展趋势
本研究的定位与创新
参考文献
研究目标与内容
论文组织结构
第关概念及研究
教师教学风格

教育场景中的多模态分析技术
第1章 概述及研究
教师教学风格
教师教学风格的概念与研究演进
教师教学风格的分类体系
教师教学风格的核心特征
教育场景中的多模态分析技术
视频行为识别的原理与关键技术
音频识别与语音情绪分析
文本语义分析与教学语言建模
第2章 研究方法与总体设计
系统总体思路与研究框架
第3章 特征提取
实验总体设计
音频模态特征提取
视频模态特征提取与创新验证
第4章 师风格画像分析系统设计与实现
第5章 师风格画像分析系统设计与实现
系统总体架构
核心功能模块设计
教师风格画像生成与可视化
风格相似度分析与追踪
系统性能测试与优化
系统应用价值分析
本章小结

第1章 绪论
研究背景与意义
研究目的与意义
研究方法与技术路线
创新点与不足
第2章 理论基础与方法论
理论基础
方法论
第3章 实验设计与数据收集
实验设计
数据收集
第4章 结果分析与讨论
结果分析
讨论
第5章 研究结论与建议
研究结论
政策建议
第6章 总结与展望
总结
展望
参考文献
发表论文和科研情况

图目录

表目录

第一章绪论

研究背景及意义

在教育现代化与数字化转型的浪潮中，课堂教学正从资源配置与教学辅助阶段迈向智能评价与数据驱动决策阶段。众多学校与教育管理部门通过录播系统、教学平台、课堂监控设备等手段，积累了大量课堂录像、音频记录和教学日志。然而，这些过程性数据往往仅用于教学回看或行政存档，缺乏对教学特征刻画与教师风格认知的持续支撑。

传统课堂评价方式包括听课记录、专家评估、学生问卷及访谈等在主观性、时效性和覆盖面方面均存在显著局限，难以满足智慧教育环境下对客观、实时、可量化课堂反馈的需求。尤其在阶段，讲授式课堂在知识传授与课堂组织中仍占据主导地位，如何通过数据化方式刻画教师风格、反映教学特征，成为实现课堂精细化分析的重要课题。

在此背景下，教师教学风格作为连接课堂行为与教学效果的重要中介变量，逐渐受到学界与实践界的广泛关注。教学风格通常包含教师在语言表达、课堂互动、非言语行为、情感表达等多维度上的稳定特征直接影响学生的学习动机与课堂氛围。如果能够通过多模态数据（视频、音频、文本）构建教师风格的可解释画像模型，不仅可以为教师提供客观的风格认知，也能够为教学研究、教师培训及教育决策提供科学依据。

此外，课堂对于教师风格还具有明显的动态性与情境依赖性：不同学段、学科、教学内容下，适宜的教学风格存在差异；教师的风格亦会随教龄增长与理念更新而变化。这种复杂性进一步提高了人工观察与主观评价的难度，也凸显了以人工智能技术实现风格建模与反馈的必要性。

因此，本研究以课堂视频为核心输入，融合语音、文本等多模态数据，重点探讨教师教学风格的量化映射机制与智能识别体系的实现路径。在理论层面，本研究旨在丰富教育人工智能领域关于多模态课堂分析与教师画像建模的研究体系；在应用层面，则期望构建一个能够自动化识别教师行为、提取语音语义特征、生成

可解释风格画像的系统，以促进教师风格认知与教学研究。

国内外研究现状

教师教学风格识别技术的发展经历了从理论抽象到数据驱动、从单一模态到多模态融合的演进过程。本节将从教师风格理论基础、课堂多模态分析技术和融合方法三个维度梳理相关研究进展，揭示本研究的技术定位与创新空间。

教师教学风格：从理论分类到计算建模

教师教学风格是指教师在长期教学实践中形成的、相对稳定的教学行为模式和个性化特征。较早地提出了五分类模型，将教师划分为专家型、权威型、示范型、促进型、委托型。等人开发的评价工具则从情感支持课堂组织教学支持三个维度评估教学质量。这些理论框架为后续的计算建模提供了重要的概念基础，但其评价方式主要依赖人工观察和主观量表，难以满足大规模、客观化的分析需求。

随着教育技术的发展，研究者开始尝试从课堂录像中自动识别教师行为模式。提出的互动分析系统通过编码教师与学生的语言行为，建立了课堂互动的量化分析框架。然而，这些早期尝试仍然依赖人工编码，分析过程耗时且主观性强。近年来，深度学习技术的突破为教师风格的自动识别提供了新的可能。

在基于多模态数据的教师风格自动识别方面，也有研究者进行了初步探索。等人采用音频特征、面部表情特征和骨骼特征的融合方法，将教师风格分为情感型、自然型和冷静型三类。这类研究表明多模态融合在教师风格识别中具有一定可行性，但总体而言，该领域仍处于起步阶段，在风格分类的细粒度、特征提取的深度、融合方法的有效性以及结果的可解释性等方面还有较大的提升空间。

课堂多模态分析技术的发展

课堂教学是一个复杂的多模态交互过程，涉及教师的语言表达、肢体动作、情感状态等多个维度。单一模态的分析往往难以全面刻画教学风格的丰富性，因此多模态分析成为该领域的重要研究方向。

语音与语义分析技术

语音是课堂教学中最重要的信息载体之一。传统的语音分析方法主要基于梅尔频率倒谱系数等手工特征，结合隐马尔可夫模型或高斯混合模型进行识别。这些方法虽然在安静环境下表现尚可，但在真实课堂的噪声环境中性能显著下降。

深度学习的兴起为语音分析带来了革命性的变化。采用循环神经网络实现了

端到端的语音识别，则通过自监督对比学习从无标注音频中学习通用表征，在多种下游任务上显著超越传统方法。特别地，针对课堂环境的噪声鲁棒性问题，通过持续预训练在课堂域数据上进行适配，将词错率降低了

在语义层面，及其变体在文本理解任务上取得了突破性进展。等人评估了和大语言模型在课堂对话分析中的应用，发现这些模型能够有效识别教师话语中的对话行为，如提问、指令、反馈等教学意图。这为将教师语音转化为更高层次的教学策略分析提供了技术支撑。

视频与行为识别技术

视频分析技术经历了从手工特征到深度学习的转变。早期的时空兴趣点和轨迹特征方法需要人工设计特征提取器，且对背景复杂度敏感。通过融合外观信息和光流运动信息实现了动作识别的性能提升，进一步采用卷积同时建模时空特征。

然而，这些方法的计算开销较大，且光流提取过程耗时。基于骨骼序列的图卷积网络方法提供了一种更高效的替代方案。将骨骼序列建模为时空图结构，通过图卷积捕捉关节间的依赖关系。这种方法不仅维度更低维，而且天然具有抗遮挡和隐私保护的优势。

在教育场景的具体应用中，等人使用姿态估计结合时序建模识别教师动作，准确率达到

新兴技术：注意力机制与实时分析

近年来，注意力机制在课堂行为识别中的应用日益广泛。结合可变形大核注意力机制能够在复杂场景下准确识别小目标，显著提升了课堂行为检测的鲁棒性。系统采用多模态大语言模型作为核心分析引擎，通过流水线实现了对课堂视频的长上下文推理和时序定位。教师反馈表明，系统自动生成的等待时长、师生对话平衡等指标有助于揭示教学互动中的隐性模式。

将目标检测与时空图神经网络结合，实现了

多模态融合方法：从简单拼接到跨模态交互

单一模态的分析存在固有的局限性：仅分析语音无法捕捉肢体语言的丰富性，仅分析视频则忽略了语义内容的重要性。多模态融合成为提升分析性能的关键。

早期融合策略

早期的多模态融合研究主要采用特征拼接或结果加权的简单策略。首次提出多模态学习分析概念，整合视频、音频、眼动、生理信号等数据分析学习过程。然而，这些方法将各模态特征独立提取后直接拼接或加权平均未能有效建模模态间的交互关系。例如，教师指向黑板视觉与请看这个公式文本的协同语义关系在简单拼接中会丢失。

注意力机制驱动的跨模态交互

架构及其注意力机制为跨模态交互提供了强大工具。通过对比学习对齐视觉和文本特征空间，实现了零样本图像分类。采用视觉语言，通过联合注意力机制建模图像和文本的深层交互。这些方法的核心思想是通过机制让一个模态查询另一个模态的相关信息，实现自适应的特征融合。

在教育场景中，项目利用多模态自动评估课堂的积极氛围等维度。项目为主动学习课堂提供提问技巧、等待时长等行为的量化反馈。等人提出的基于跨模态注意力的学生参与度识别模型，融合面部表情、语音韵律和文本语义，验证了跨模态交互的有效性。

可解释性与轻量化趋势

随着深度学习模型在教育场景中的应用日益深入，可解释性成为关键需求。等人提出的系统将动作识别结果与可视化解释相结合，展示模型关注的关键帧和关键点。等人使用值分析教师行为特征对风格识别的贡献度，为教师提供可理解的分析结果。

同时，为了支持在边缘设备上的实时分析，轻量化模型成为研究热点。通过结构搜索和蒸馏技术在保持性能的同时大幅降低参数量。这些进展使得高性能的多模态分析系统能够部署在录播终端等资源受限的环境中。

现有研究的不足与发展趋势

通过对相关研究的系统梳理，可以发现尽管教师风格识别技术取得了显著进展，但现有研究仍存在以下不足：

技术层面的挑战：

单模态特征表达能力有限：传统音频特征（如）主要捕捉声学属性，难以区分情感细微差异；单帧视频分析难以捕捉教学动作的时序特性；关键词匹配

无法理解教师话语的深层教学意图。

多模态融合策略简单：现有研究多采用特征拼接或结果加权等浅层融合方式，未能充分建模模态间的语义关联和互补关系。例如，教师的指示手势（视觉）与对应的讲解内容（文本）之间的协同关系往往被忽略。

课堂环境鲁棒性不足：真实课堂存在背景噪声、多人遮挡、光照变化等干扰因素，大多数算法在理想实验环境下训练，迁移到真实场景时性能下降明显。

可解释性不足：深度学习模型的黑盒特性使得分析结果难以被教师理解和接受。教育场景需要明确的决策依据，而非仅仅给出分类结果。

数据分段策略粗糙：现有研究多采用固定时间窗口分段（如每秒），这种策略虽然实现简单，但未能充分考虑教学话语的语义边界。在包含复杂逻辑推导或案例讲解的课堂中，可能在约

应用层面的局限：

数据集规模和多样性受限：现有公开数据集规模较小，且多聚焦于单一教学场景或学段，缺乏跨学科、跨学段的泛化性验证。

系统集成度不足：多数研究聚焦于算法改进，缺少从数据采集、特征提取、融合分析到结果呈现的完整系统设计，难以直接应用于实际教学场景。

个性化建模不足：不同学段、学科、文化背景下的教学风格差异显著，但现有模型多采用统一的分类框架，忽略了教学情境的多样性。

未来发展趋势：

深层多模态融合：从简单拼接转向基于注意力机制的跨模态交互，让模型自适应地学习不同模态在不同教学情境下的权重和关联。

自监督与迁移学习：利用大规模无标注课堂数据进行自监督预训练，提升模型在课堂域的特征表达能力和泛化性能。

可解释人工智能：结合注意力可视化、特征归因（如）等技术，使模型决策过程透明化，增强教师对分析结果的信任度。

轻量化与边缘部署：优化模型结构，支持在录播终端等边缘设备上实时分析，降低计算成本和数据传输延迟。

隐私保护技术：采用骨骼序列建模、联邦学习、差分隐私等技术，在保护师

生隐私的前提下实现有效分析。

这些发展趋势为教师风格识别技术的深入研究提供了明确方向，也为本研究的技术创新提供了切入点。

本研究的定位与创新

针对上述现有研究的不足，本研究提出了，语义层次化注意力画像引擎。具体创新包括：

技术层面的创新：

数据分段策略优化：提出语义驱动的话语分段策略，替代传统固定时间窗口分段。通过依存句法分析和话语边界检测，保持教学话语的语义完整性（完整率从

音频模态：采用自监督表征替代传统特征，并结合情感分类头，在课堂噪声环境下的准确率提升个百分点。

文本模态：引入层次化细粒度对话行为识别，将传统的类粗分类扩展为类细粒度分类启发性提问、事实性提问、概念定义、逻辑推导、理论讲授、案例分析、组织指令、任务指令、正向反馈、纠正反馈，更有效地捕捉不同教学风格的特征性语言模式，值比关键词规则方法提升。

视频模态：采用实现稳定的教师追踪稳定性提升

多模态融合：通过跨模态注意力机制自适应融合视觉、音频、文本特征，相比简单拼接提升个百分点，相比结果加权提升个百分点。

可解释性：结合注意力权重与特征归因分析，揭示不同教学风格对各模态的依赖模式，为教师提供可理解的分析结果。

应用层面的贡献：

本研究构建了完整的教师风格画像分析系统，实现了从课堂录像到风格画像的端到端流程。在自建的样本、类风格数据集上，达到

与最新研究的对比：

相比数据集专注于动作检测，本研究关注更高层次的风格识别；相比依赖大语言模型的黑盒分析，本研究提供了基于的可解释性分析；相比侧重实时检测，本研究更强调多模态深层融合与风格建模。因此，本研究在技术创新性、可解释性和应

用完整性方面具有独特贡献。

参考文献

姿态估计

研究目标与内容

本研究旨在构建一个基于课堂录像的教师风格画像分析系统，实现教学风格的量化建模、可解释映射与即时反馈。系统目标包括三个层面：

- () 建立多模态融合的教师风格分析框架，实现视频、音频与文本数据的协同建模；
- () 构建基于可解释特征的教师风格分类模型，支持风格画像与反馈；
- () 验证系统在真实课堂场景中的可行性与有效性，为教育评价提供数据支撑。

在当前课堂评价体系中，教师的课堂风格和行为特征是影响教学质量的重要因素。然而，传统评价方式学生问卷、人工观课普遍存在主观性高、反馈滞后、覆盖面窄等缺陷。为实现上述研究目标，我们将研究内容分为以下四个方面：

- () 构建教师风格映射模型：结合教育学理论与课堂实地观察，定义七类具有区分力的教学风格（理论讲授型、耐心细致型、启发引导型、题目驱动型、互动导向型、逻辑推导型、情感表达型），设计规则驱动与可解释机器学习结合的风格映射机制，实现多模态特征到风格标签的映射。
- () 设计非言语行为识别模型：利用时空图卷积网络对骨骼序列进行时序建模识别教师典型动作、空间分布与互动行为，并通过课堂场景数据集进行训练与验证。
- () 设计语音语义特征提取模块：采用基于的语音识别与情绪分析模型，提取语义特征（提问结构、关键词、逻辑连接词）与情绪特征（语调、语速、情感倾向）。
- () 设计风格映射与可视化机制：将行为与语言特征融合后，构建风格分类器及可视化模块，生成雷达图、得分分布、典型片段等可解释结果，支持教师风格认知与教学研究。

论文组织结构

本论文围绕基于课堂录像的教师风格画像分析系统这一主题展开，全文共分为六章，结构安排如下：

第一章绪论本章阐述研究的背景与意义，分析传统课堂评价的局限性与智慧教育的发展需求，提出基于多模态数据实现教师教学风格建模的研究动机。同时，综述国内外相关研究现状，归纳多模态课堂分析、教师行为分析、语音语义识别与视频动作识别等方向的研究进展明确本研究的目标与内容，最后概述论文的整体结构与研究逻辑。

第二章理论基础与相关研究本章从教育学与计算机科学的交叉视角，系统梳理教师教学风格的相关理论，包括教学风格的定义、分类及核心特征；分析课堂行为与语言特征的关联规律。在技术层面，介绍视频行为识别、音频识别与语音情绪分析、文本语义建模等多模态分析技术的基本原理与关键方法，为后续系统设计提供理论支撑。

第三章研究方法与总体设计本章阐述研究的总体思路与框架结构，介绍多模态数据的采集与预处理流程，构建教师风格映射模型的设计思路与算法机制。重点描述行为特征与语音语义特征的融合方法、可解释风格分类机制的构建以及教师风格画像与反馈机制的总体设计思路，明确系统功能模块与技术路线。

第四章多模态特征提取本章介绍系统实验的目标与任务划分，分别从音频、语义与视频三个维度展开特征提取与建模过程。首先实现教师语音识别与文本转写，提取语义与情绪特征；其次利用时空图卷积网络对骨骼序列进行时序建模实现视频动作识别与特征融合；最后定义实验数据集与评估指标，对模型性能与特征稳定性进行实验分析与结果验证。

第五章教师风格画像分析系统设计与实现本章在前期研究与实验结果的基础上，介绍教师风格画像分析系统的设计与实现。内容包括系统总体架构、风格映射与画像生成模块、多模态特征可视化、风格雷达图及典型片段展示等。进一步阐述风格画像可视化与可解释性分析模块的设计理念，并展示系统的运行效果与应用场景，分析系统不足与优化方向。

第六章总结与展望本章总结论文的主要研究成果，回顾系统的构建思路、实验

结果与研究创新，分析研究中存在的问题与局限，最后对未来研究方向进行展望，包括在更大规模数据集上的模型验证、跨学科融合的应用拓展以及教学智能反馈机制的持续优化。

第二章相关概念及研究

教师教学风格

教师教学风格（）是教育心理学与教学研究中一个重要而复杂的概念，反映教师在长期教学实践中形成的相对稳定教学倾向、行为模式与交互特征。教学风格不仅体现教师在课堂中的教学理念与行为策略，也直接影响学生的学习动机、课堂氛围及教学效果。因此，教学风格的识别与建模是实现课堂智能分析与教学评价的重要理论基础。

教师教学风格的概念与研究演进

教学风格概念最早源于世纪年代西方教育心理学研究。（）在课堂互动分析系统（）中首次系统地描述教师语言行为特征，为后续教学风格的行为化研究奠定基础。（）进一步提出教师风格与学生学习风格相互作用的理论框架，将教学风格视为教师在教学信念、互动方式与行为表达上的综合体现。他认为教学风格是一种稳定的教学取向，包含教师在知识传授、课堂组织、情感态度及师生互动等多方面的差异。

国内对教学风格的研究起步较晚，世纪年代初，学者们多从教育学与心理学角度探讨教师个性、教学理念与课堂表现之间的关系。近年来，随着课堂观察技术与量化研究方法的发展，教学风格的研究逐渐从定性描述转向可测量、可建模的定量分析方向。特别是在教育信息化与人工智能技术的推动下，研究者开始尝试利用课堂录像、语音记录等客观数据刻画教师的教学行为特征，实现对教学风格的自动化识别与可解释分析。这一转变推动了教学风格研究由理论抽象迈向数据驱动的新阶段。

教师教学风格的分类体系

学界对教学风格的分类标准多样，依据理论取向与研究对象的不同，可分为以下几类：

- （）基于教学取向的分类。
- （）提出了著名的五类教学风格模型：专家型（）、正式权威型（）、个人示范型（）、促进型（）与委托型（）。该分类强调教师在知识控制、课堂结构与师生关

系中的差异，是目前国际上应用最广的教学风格框架。

() 基于教学行为特征的分类。国内研究者在课堂观察与行为分析的基础上，将教师风格划分为讲授型、启发型、探究型、合作型、演示型等类型。例如，讲授型教师倾向于结构化知识讲解和板书展示；启发型教师注重提问、引导与学生参与；探究型教师侧重问题解决与任务驱动。这类划分便于将教学风格与具体课堂行为进行对应分析。

() 基于教学情感与交互特征的分类。近年来的研究关注教师情感表达、语音语调、肢体语言等非言语特征，将教学风格分为理性逻辑型、情感表达型、互动导向型、稳健控制型等类别。这类分类强调教师在课堂氛围营造与人际互动中的差异特征，为后续多模态风格识别提供了可操作的维度参考。

综合来看，教学风格的多样性既反映教师个体差异，也体现学科特征与教学情境的差别。不同风格类型在课堂管理、知识呈现与情感互动中的优势互补，为本研究后续的风格映射模型提供了理论支撑。

教师教学风格的核心特征

教师教学风格是一个多维度的综合概念，通常可从语言特征、非言语行为特征、课堂互动特征、教学组织特征四个方面加以刻画：

语言特征。教师的语言风格是教学风格最直接的表现形式。语速、语调、停顿频率、情绪色彩以及关键词使用频率等要素均能反映教师的认知风格与教学策略。例如，理论讲授型教师更体现为注重核心名词的精准解释与技术发展演化的系统讲解；启发引导型教师则更频繁使用疑问句与引导性表达。通过语音识别与文本语义分析，可量化这些差异。

非言语行为特征。教师的姿态、手势、面部表情、移动路径等非言语行为能够反映其课堂控制力与情感表达倾向。行为活跃度较高的教师往往具备较强的课堂调动能力，而动作单一或空间范围受限的教师则偏向传统讲授型风格。

课堂互动特征。互动频率与话轮转换比例是衡量教师风格的重要指标。互动导向型教师倾向于与学生进行多轮交流，学生语音占比高；而讲授型教师课堂中教师话语主导，学生参与度低。通过语音分离与对话检测技术可以量化这类互动特征。

教学组织特征。包括教学环节的结构化程度、任务驱动频率及教学节奏控制等方面。逻辑推导型教师在知识结构组织与时间控制上更为严谨；情感表达型教师则在课堂氛围与参与感营造方面更突出。

综上所述，教师教学风格不仅是个体教学理念的体现，更是多模态行为与语言特征在特定教学情境中的综合表达。对这些核心特征的深入分析，为本研究提供了明确的理论基础与分析维度。

教育场景中的多模态分析技术

教育场景中的多模态分析（）是近年来教育人工智能领域的重要研究方向。课堂活动是一种典型的多模态交互过程，教师的语言、动作、姿态、表情、语调及课堂互动等因素共同构成了复杂的多维信号体系。传统的教学研究多依赖问卷、访谈等单一数据来源，难以全面捕捉课堂的动态特征。随着计算机视觉、语音识别与自然语言处理技术的快速发展，多模态学习分析（）逐渐成为理解教学行为与学习过程的重要手段。本节将从视频、音频与文本三个角度，介绍课堂场景中常用的多模态分析技术原理与方法。

视频行为识别的原理与关键技术

视频行为识别（）旨在从连续视频帧序列中自动识别特定的人体动作或交互行为，是多模态课堂分析的核心技术之一。在课堂环境中，教师的讲解、走动、板书、手势、指示与互动等行为都能通过视频识别得到结构化表示，从而为教学风格建模提供行为层面的量化依据。

（）传统方法阶段。早期视频识别主要依赖手工特征（）构建，如时空兴趣点（）、密集光流（）与轨迹特征（）。这些方法通过提取视频中局部运动与空间变化信息，利用支持向量机（）等分类器完成动作识别。虽然在小规模数据集上效果良好，但在复杂课堂背景中对光照、遮挡及相机抖动敏感，泛化能力有限。

（）深度学习阶段。随着卷积神经网络（）在图像识别领域的突破，卷积神经网络（）被引入视频分析中，用以同时学习空间与时间特征。模型通过卷积核在空间与时间维度上进行特征提取，实现了对动作动态变化的捕捉。随后，（）在预训练基础上扩展卷积至，有效提升了特征表示能力。

（）双流网络与时序建模。将静态帧与光流信息分别输入两条神经网络分支，从

而兼顾外观与运动特征。这一结构在复杂动作识别任务中表现优异。近年来，结合时间建模的网络（如、）进一步提升了视频行为识别的时序敏感性。

（）与可解释建模。（）及其衍生模型（如、）通过自注意力机制实现长时依赖建模，适合捕捉教师在课堂中持续性的讲解、互动与空间移动模式。此外，引入可解释模块（如可视化、）可在教育场景下直观呈现模型关注的行为区域，增强结果解释性与信任度。

综上，视频行为识别技术已能支持从教师录像中提取动作类别、持续时间、空间分布及频率等指标，为教师风格画像提供稳定的行为维度输入。

音频识别与语音情绪分析

语音作为课堂交流的主要媒介，承载了丰富的语义、情绪和节奏信息。教师的语速、音量、语调变化、情绪表达及话轮结构反映其教学控制与沟通风格。音频识别与语音情绪分析技术可实现对这些信息的自动化提取。

（）语音识别（）技术。语音识别经历了从模板匹配（）到统计模型（），再到深度学习端到端架构的演进。当前主流模型包括基于的、（）与等。它们通过注意力机制和声学建模实现语音到文本的高精度转换，在噪声课堂环境中表现出较强鲁棒性。

（）说话人识别与语音分离。课堂中常存在多说话人场景，为识别教师与学生的语音，通常结合语音活动检测（）与说话人分离（）算法。基于或的嵌入模型可在多声源环境中稳定区分教师语音，从而支持后续特征分析。

（）语音情绪识别（）。情绪特征（如音高、能量、共振峰分布、语速变化）能反映教师的情感投入与课堂氛围。常见方法包括基于低层特征的分类，以及基于深度特征的或模型。近年来，端到端情感识别框架（如）已能直接从原始音频中学习高层情感特征。结合课堂场景，可提取教师语音的情绪曲线与强度分布，辅助分析情感表达型或理性讲授型风格教师的差异。

（）音频特征融合与量化。通过多维特征统计（如平均语速、停顿比、音高波动率、情绪极性）可形成音频特征向量，为风格映射模型提供输入。结合视频与文本模态，这些特征能有效提升对教师课堂状态与教学风格的判别能力。

文本语义分析与教学语言建模

课堂语音经转写后，可进一步进行文本层面的语义与结构分析。教师语言不仅包含知识内容，更体现教学意图、逻辑结构与提问策略，是教学风格的重要体现。

() **语义表示与关键词提取**。利用词嵌入模型（如、、）可将文本映射到向量空间，实现语义相似度与主题聚类分析。通过关键词抽取（、）可识别课堂讲授的知识点分布与重点密度。

() **教学语言结构分析与话语分段**。课堂语料的句法与话语结构反映教师思维逻辑与教学方式。句式复杂度、逻辑连接词（如因为所以因此）及疑问句比例是区分逻辑推导型与启发引导型教师的重要指标。

固定时间窗口分段（如每秒）是课堂视频分析中常用的数据处理策略，具有**实现简单、计算高效、易于工程化**等优点，在多项研究中被广泛采用。然而，在**我们的初步实验中发现**，固定分段在处理包含复杂逻辑推导或多句案例讲解的教学话语时，**可能未能充分保持语义完整性**。例如，一个完整的逻辑推导过程（因为速度等于位移除以时间，所以我们可以得到，因此当时间固定时，速度与位移成正比）可能被分割到不同的时间窗口，导致后续的教学意图识别模型无法捕捉完整的因为所以因此逻辑链，识别准确率下降约

第三章相关概念及研究

教师教学风格

教师教学风格（）是教育心理学与教学研究中一个重要而复杂的概念，反映教师在长期教学实践中形成的相对稳定的教学倾向、行为模式与交互特征。教学风格不仅体现教师在课堂中的教学理念与行为策略，也直接影响学生的学习动机、课堂氛围及教学效果。因此，教学风格的识别与建模是实现课堂智能分析与教学评价的重要理论基础。

教师教学风格的概念与研究演进

教学风格概念最早源于世纪年代西方教育心理学研究。（）在课堂互动分析系统（）中首次系统地描述教师语言行为特征，为后续教学风格的行为化研究奠定基础。（）进一步提出教师风格与学生学习风格相互作用的理论框架，将教学风格视为教师在教学信念、互动方式与行为表达上的综合体现。他认为教学风格是一种稳定的教学取向，包含教师在知识传授、课堂组织、情感态度及师生互动等多方面的差异。

国内对教学风格的研究起步较晚，世纪年代初，学者们多从教育学与心理学角度探讨教师个性、教学理念与课堂表现之间的关系。近年来，随着课堂观察技术与量化研究方法的发展，教学风格的研究逐渐从定性描述转向可测量、可建模的定量分析方向。特别是在教育信息化与人工智能技术的推动下，研究者开始尝试利用课堂录像、语音记录等客观数据刻画教师的教学行为特征，实现对教学风格的自动化识别与可解释分析。这一转变推动了教学风格研究由理论抽象迈向数据驱动的新阶段。

教师教学风格的分类体系

学界对教学风格的分类标准多样，依据理论取向与研究对象的不同，可分为以下几类：

- （）基于教学取向的分类。
- （）提出了著名的五类教学风格模型：专家型（）、正式权威型（）、个人示范

型()、促进型()与委托型()。该分类强调教师在知识控制、课堂结构与师生关系中的差异，是目前国际上应用最广的教学风格框架。

() 基于教学行为特征的分类。国内研究者在课堂观察与行为分析的基础上，将教师风格划分为讲授型、启发型、探究型、合作型、演示型等类型。例如，讲授型教师倾向于结构化知识讲解和板书展示；启发型教师注重提问、引导与学生参与；探究型教师侧重问题解决与任务驱动。这类划分便于将教学风格与具体课堂行为进行对应分析。

() 基于教学情感与交互特征的分类。近年来的研究关注教师情感表达、语音语调、肢体语言等非言语特征，将教学风格分为理性逻辑型、情感表达型、互动导向型、稳健控制型等类别。这类分类强调教师在课堂氛围营造与人际互动中的差异特征，为后续多模态风格识别提供了可操作的维度参考。

综合来看，教学风格的多样性既反映教师个体差异，也体现学科特征与教学情境的差别。不同风格类型在课堂管理、知识呈现与情感互动中的优势互补，为本研究后续的风格映射模型提供了理论支撑。

教师教学风格的核心特征

教师教学风格是一个多维度的综合概念，通常可从语言特征、非言语行为特征、课堂互动特征、教学组织特征四个方面加以刻画：

语言特征。教师的语言风格是教学风格最直接的表现形式。语速、语调、停顿频率、情绪色彩以及关键词使用频率等要素均能反映教师的认知风格与教学策略。例如，理论讲授型教师更体现为注重核心名词的精准解释与技术发展演化的系统讲解；启发引导型教师则更频繁使用疑问句与引导性表达。通过语音识别与文本语义分析，可量化这些差异。

非言语行为特征。教师的姿态、手势、面部表情、移动路径等非言语行为能够反映其课堂控制力与情感表达倾向。行为活跃度较高的教师往往具备较强的课堂调动能力，而动作单一或空间范围受限的教师则偏向传统讲授型风格。

课堂互动特征。互动频率与话轮转换比例是衡量教师风格的重要指标。互动导向型教师倾向于与学生进行多轮交流，学生语音占比高；而讲授型教师课堂中教师话语主导，学生参与度低。通过语音分离与对话检测技术可以量化

这类互动特征。

教学组织特征。包括教学环节的结构化程度、任务驱动频率及教学节奏控制等方面。逻辑推导型教师在知识结构组织与时间控制上更为严谨；情感表达型教师则在课堂氛围与参与感营造方面更突出。

综上所述，教师教学风格不仅是个体教学理念的体现，更是多模态行为与语言特征在特定教学情境中的综合表达。对这些核心特征的深入分析，为本研究提供了明确的理论基础与分析维度。

教育场景中的多模态分析技术

教育场景中的多模态分析（）是近年来教育人工智能领域的重要研究方向。课堂活动是一种典型的多模态交互过程，教师的语言、动作、姿态、表情、语调及课堂互动等因素共同构成了复杂的多维信号体系。传统的教学研究多依赖问卷、访谈等单一数据来源，难以全面捕捉课堂的动态特征。随着计算机视觉、语音识别与自然语言处理技术的快速发展，多模态学习分析（）逐渐成为理解教学行为与学习过程的重要手段。本节将从视频、音频与文本三个角度，介绍课堂场景中常用的多模态分析技术原理与方法。

视频行为识别的原理与关键技术

视频行为识别（）旨在从连续视频帧序列中自动识别特定的人体动作或交互行为，是多模态课堂分析的核心技术之一。在课堂环境中，教师的讲解、走动、板书、手势、指示与互动等行为都能通过视频识别得到结构化表示，从而为教学风格建模提供行为层面的量化依据。

（）传统方法阶段。早期视频识别主要依赖手工特征（）构建，如时空兴趣点（）、密集光流（）与轨迹特征（）。这些方法通过提取视频中局部运动与空间变化信息，利用支持向量机（）等分类器完成动作识别。虽然在小规模数据集上效果良好，但在复杂课堂背景中对光照、遮挡及相机抖动敏感，泛化能力有限。

（）深度学习阶段。随着卷积神经网络（）在图像识别领域的突破，卷积神经网络（）被引入视频分析中，用以同时学习空间与时间特征。模型通过卷积核在空间与时间维度上进行特征提取，实现了对动作动态变化的捕捉。随后，（）在预训练基础上扩展卷积至，有效提升了特征表示能力。

() 双流网络与时序建模。将静态帧与光流信息分别输入两条神经网络分支，从而兼顾外观与运动特征。这一结构在复杂动作识别任务中表现优异。近年来，结合时间建模的网络（如、）进一步提升了视频行为识别的时序敏感性。

() 与可解释建模。 () 及其衍生模型（如、）通过自注意力机制实现长时依赖建模，适合捕捉教师在课堂中持续性的讲解、互动与空间移动模式。此外，引入可解释模块（如可视化、）可在教育场景下直观呈现模型关注的行为区域，增强结果解释性与信任度。

综上，视频行为识别技术已能支持从教师录像中提取动作类别、持续时间、空间分布及频率等指标，为教师风格画像提供稳定的行为维度输入。

音频识别与语音情绪分析

语音作为课堂交流的主要媒介，承载了丰富的语义、情绪和节奏信息。教师的语速、音量、语调变化、情绪表达及话轮结构反映其教学控制与沟通风格。音频识别与语音情绪分析技术可实现对这些信息的自动化提取。

() 语音识别 () 技术。语音识别经历了从模板匹配 () 到统计模型 ()，再到深度学习端到端架构的演进。当前主流模型包括基于的、() 与等。它们通过注意力机制和声学建模实现语音到文本的高精度转换，在噪声课堂环境中表现出较强鲁棒性。

() 说话人识别与语音分离。课堂中常存在多说话人场景，为识别教师与学生的语音，通常结合语音活动检测 () 与说话人分离 () 算法。基于或的嵌入模型可在多声源环境中稳定区分教师语音，从而支持后续特征分析。

() 语音情绪识别 ()。情绪特征（如音高、能量、共振峰分布、语速变化）能反映教师的情感投入与课堂氛围。常见方法包括基于低层特征的分类，以及基于深度特征的或模型。近年来，端到端情感识别框架（如）已能直接从原始音频中学习高层情感特征。结合课堂场景，可提取教师语音的情绪曲线与强度分布，辅助分析情感表达型或理性讲授型风格教师的差异。

() 音频特征融合与量化。通过多维特征统计（如平均语速、停顿比、音高波动率、情绪极性）可形成音频特征向量，为风格映射模型提供输入。结合视频与文本模态，这些特征能有效提升对教师课堂状态与教学风格的判别能力。

文本语义分析与教学语言建模

课堂语音经转写后，可进一步进行文本层面的语义与结构分析。教师语言不仅包含知识内容，更体现教学意图、逻辑结构与提问策略，是教学风格的重要体现。

() **语义表示与关键词提取**。利用词嵌入模型（如、、）可将文本映射到向量空间，实现语义相似度与主题聚类分析。通过关键词抽取（、）可识别课堂讲授的知识点分布与重点密度。

() **教学语言结构分析与话语分段**。课堂语料的句法与话语结构反映教师思维逻辑与教学方式。句式复杂度、逻辑连接词（如因为所以因此）及疑问句比例是区分逻辑推导型与启发引导型教师的重要指标。

固定时间窗口分段（如每秒）是课堂视频分析中常用的数据处理策略，具有**实现简单、计算高效、易于工程化**等优点，在多项研究中被广泛采用。然而，在**我们的初步实验中发现**，固定分段在处理包含复杂逻辑推导或多句案例讲解的教学话语时，**可能未能充分保持语义完整性**。例如，一个完整的逻辑推导过程（因为速度等于位移除以时间，所以我们可以得到，因此当时间固定时，速度与位移成正比）可能被分割到不同的时间窗口，导致后续的教学意图识别模型无法捕捉完整的因为所以因此逻辑链，识别准确率下降约

第四章研究方法与总体设计

系统总体思路与研究框架

本研究以基于课堂录像的教师风格画像分析系统为发展目标，构建一个集多模态特征提取、风格映射建模、画像生成与可视化反馈于一体的分析体系。研究总体思路遵循数据采集特征建模风格映射结果反馈的主线，旨在实现从课堂视频到教学风格画像的全流程量化分析与智能反馈。

总体研究思路

在教育信息化与人工智能技术的背景下，教师课堂行为与教学风格的客观识别与分析是推动教学质量评价科学化的重要方向。传统的教师评价多依赖主观观察和问卷调查，难以反映教学过程中的动态变化与多维特征。本研究借助**多模态学习分析()**框架，综合运用计算机视觉、语音识别与自然语言处理等技术，对教师在课堂中的非言语行为与语言特征进行量化建模，从而构建教师风格画像，实现教学风格的客观、可解释识别。

系统总体思路遵循数据采集特征提取模态融合风格映射画像生成的技术路线，核心在于：**多模态协同**：视频、音频、文本三种模态互补增强**端到端建模**：从原始数据直接学习到风格标签的映射**可解释性**：通过注意力机制和分析提供决策依据
四层系统架构

系统由四个层次构成，如图所示：

【建议插入图：系统四层架构图】

(图应包含：数据层特征提取层融合分类层应用层，每层标注关键技术)

第一层：数据采集与预处理层

通过录播系统采集课堂视频与音频数据，并利用以下技术完成数据清洗与时序同步：

数据同步机制：采用音频波形匹配算法()实现视频与音频的精确对齐。设视频音轨为 $a_v(t)$ ，独立音频为 $a_s(t)$ ，时间偏移量 τ 通过最大化互相关函数获得：

$$\tau^* = \arg \max_{\tau} \int_{-\infty}^{\infty} a_v(t) \cdot a_s(t + \tau) dt$$

$$\text{或在离散时间域: } \tau^* = \arg \max_{\tau} \sum_t a_v[t] \cdot a_s[t + \tau]$$

其中, τ^* 是最佳对齐偏移量, 通常在范围内。

数据分段策略: 从基线到改进

() 基线方法: 固定时间窗口分段

在初步实验中, 我们采用固定时间窗口分段作为基线方法。将课堂视频按固定时间窗口 $T = 10s$ 分段, 设完整课堂时长为 L , 则生成 $N = \lfloor L/T \rfloor$ 个片段:

$$\mathcal{S} = \{S_1, S_2, \dots, S_N\}$$

每个片段 S_i 包含:

视频帧序列: $V_i = \{v_1, v_2, \dots, v_{250}\}$ (帧)

音频片段: $A_i \in \mathbb{R}^{160000}$ (采样点)

转写文本: T_i (经生成)

基线方法的优势:

实现简单, 易于工程化部署

计算开销固定, 便于批量处理 (分钟课堂生成个片段)

时序对齐容易 (音视频按秒固定对齐)

基线方法的局限:

通过对个样本的定性分析, 我们发现固定分段在约

第五章多模态特征提取

【本章导读】

在第三章中，我们设计了多模态融合框架。然而，要实现有效的风格识别，首先需要从原始的课堂录像中提取高质量的多模态特征表示。

本章聚焦于特征提取的技术细节与实验验证，主要内容包括：

实验总体设计（节）：明确研究假设、数据集、环境配置和评估指标

音频模态特征提取（节）：自监督表征

对话行为识别

视频模态特征提取（节）：追踪时序建模

多模态融合实验（节）：与基线方法的系统对比

实验结果分析（节）：消融实验、可解释性分析、鲁棒性测试

通过本章的实验，我们将验证四个核心假设：单模态的有效性、模块的创新性、融合的优越性、以及模型的可解释性。

实验总体设计

三种模态风格提取

视频、音频、文本三种模态均能独立反映教师教学风格，但单模态存在信息不完整性。

数学表达：设 A_v, A_a, A_t 分别表示使用单一模态时的准确率， A 表示多模态融合后的准确率，则：

$$\max(A_v, A_a, A_t) < A$$

本研究提出的技术模块优于传统方法。具体而言： $>$ （音频表征） $>$ 单纯检测（目标追踪） $>$ 单帧规则（动作识别） $>$ 关键词规则（对话行为识别）

假设（融合优越性）：跨模态注意力融合（）在风格识别准确率上显著优于简单融合方法：

$$A > A > A$$

假设（可解释性）：模型的注意力权重与特征贡献度能够提供可信的模型解释。

数据集说明

本研究使用和来自网络的自建的教师风格数据集，样本分布见表。

数据集划分：

训练集： $D = 125$ 样本（

验证集： $D = 31$ 样本（

测试集： $D = 53$ 样本（

类别平衡性：使用加权交叉熵损失处理类别不平衡：

$$\mathcal{L} = - \sum_{i=1}^N \sum_{k=1}^7 w_k \cdot y_{i,k} \log(\hat{y}_{i,k})$$

其中，类别权重 w_k 与样本数成反比：

$$w_k = \frac{N}{7 \cdot n_k}$$

n_k 是类别 k 的样本数， N 是总样本数。

实验环境配置

完整配置见表和表（技术细节表格文档）。关键配置：（）深度学习框架：训练超参数：优化器，初始学习率 $\eta_0 = 10^{-4}$ ，

评估指标体系

（）分类性能指标

准确率（）：

$$= \frac{1}{N} \sum_{i=1}^N \mathbb{1}(\hat{y}_i = y_i)$$

其中， $\mathbb{1}(\cdot)$ 是指示函数， \hat{y}_i 是预测标签， y_i 是真实标签。

精确率（）与召回率（）：

对于类别 k ：

$$k = \frac{k}{k + k}$$

$$k = \frac{k}{k + k}$$

其中， k 是真正例， k 是假正例， k 是假负例。

分数 ()：

$$F1_k = 2 \times \frac{k \times k}{k + k}$$

宏平均 ()：

$$= \frac{1}{K} \sum_{k=1}^K F1_k$$

其中， $K = 7$ 是类别数。

系数：

$$\kappa = \frac{p_o - p_e}{1 - p_e}$$

其中： p_o 是观测一致性 () $p_e = \sum_{k=1}^K \frac{n_{k,} \cdot n_{k,}}{N^2}$ 是期望一致性

值解释： $\kappa < 0.4$ (一致性差)， $0.4 \leq \kappa < 0.75$ (中等)， $\kappa \geq 0.75$ (实质性一致)。

() 统计显著性检验

配对检验 ()：

用于比较两个模型在相同测试集上的性能差异。设模型和模型在 n 个样本上的准确率差异为 $d_i = A_i - B_i$ ，则：

$$t = \frac{\bar{d}}{s_d / \sqrt{n}}$$

其中： $\bar{d} = \frac{1}{n} \sum_{i=1}^n d_i$ 是均值差异 $s_d = \sqrt{\frac{1}{n-1} \sum_{i=1}^n (d_i - \bar{d})^2}$ 是标准差

在显著性水平 $\alpha = 0.05$ 下，当 $|t| > t_{\alpha/2, n-1}$ 时，拒绝原假设 (两模型无差异)。

检验：

用于消融实验，检验模块移除对性能的影响。构建列联表：

完整模型正确完整模型错误简化模型正确

n_{11}

n_{12}

简化模型错误

n_{21}

n_{22}

卡方统计量：

$$\chi^2 = \frac{(n_{12} - n_{21})^2}{n_{12} + n_{21}}$$

当 $\chi^2 > \chi^2_{0.05,1} = 3.84$ 时，认为模块移除的影响显著。

音频模态特征提取

音频模态是教师课堂风格分析中最核心的维度之一。语音不仅承载了教学内容的信息，还反映了教师的表达方式、情绪状态与课堂节奏。音频模态承载韵律节奏情感表达教学意图三层语义信息。本节提出自监督表征对话行为识别的端到端音频分析链路。

深度学习自监督声学表征

本研究采用进行音频特征提取。通过自监督对比学习从无标注音频中学习通用表征，在课堂噪声环境下相比传统特征准确率提升个百分点（时提升个百分点）

。

对于秒音频片段 $\mathbf{x} \in \mathbb{R}^{160000}$ (采样率)，特征提取流程为：

$$\mathbf{h} = (\mathbf{x}), \mathbf{h} \in \mathbb{R}^{T \times 768}$$

$$\mathbf{h} = \frac{1}{T} \sum_{t=1}^T \mathbf{h}[t] \in \mathbb{R}^{768}$$

$$\mathbf{p} = (W_e \mathbf{h} + b_e) \in \mathbb{R}^6$$

其中， T 是时间帧数， $W_e \in \mathbb{R}^{6 \times 768}$ 是情感分类头权重， \mathbf{p} 是维情感分布。最终编码为维音频特征向量 $F_a \in \mathbb{R}^{15}$ （详见节）。

层次化细粒度对话行为识别

本研究采用进行文本语义编码，并在此基础上提出**层次化细粒度对话行为识别**（）。传统对话行为识别多采用粗粒度四分类（提问、指令、讲解、反馈），但这无法有效区分不同教学风格的特征性语言模式。例如，讲解类过于宽泛，无法区分逻辑推导型教师的推理讲解与理论讲授型教师的概念定义。将教学意图扩展为**类细粒度分类**。

（）细粒度对话行为分类体系

将教师话语分为**个粗类、个细类**：

粗类细类定义示例典型风格引导学生深度思考的为什么会出现启发引导型启发性提问开放性问题这种现象？

检查知识掌握的这个概念是传统讲授型事实性提问封闭性问题什么？

明确、精准地解释所谓牛顿第一理论讲授型概念定义核心概念定律，就是

展示推理过程和因为，所以，逻辑推导型逻辑推导因果关系因此

系统性地讲解根据信息论，理论讲授型理论讲授理论框架我们可以

通过具体例子说明比如说，在实际案例讲授型案例分析抽象概念生产中

组织课堂活动、调整请大家打开组织导向型组织指令教学流程课本第页

布置学习任务和练习请完成课后习题任务导向型任务指令题

肯定、鼓励学生回答很好！这个回答情感表达型正向反馈非常准确

指出错误并给予纠正这里有个小纠正导向型纠正反馈错误，应该是

设计原则：

教育学导向：细类划分基于教育学理论中的教学行为分类（如认知层次、维度）

风格区分度：每个细类能够有效区分不同教学风格的特征性语言模式

标注可行性：细类定义明确，人工标注一致性高（）

() 层次化分类架构

采用**两层分类器**: 第层进行粗分类 (类), 第层根据粗分类结果选择对应的细分类器 (个子类)。

模型结构:

$$\rightarrow \begin{cases} \rightarrow \{Q, E, I, F\} \\ Q \rightarrow \{\} \\ E \rightarrow \{,,,\} \\ I \rightarrow \{\} \\ F \rightarrow \{\} \end{cases}$$

步骤: 编码

对于教师话语 (语义单元) $s = [w_1, w_2, \dots, w_n]$ (w_i 是词):

$$\mathbf{h} = ([CLS], w_1, \dots, w_n, [SEP])$$

取位置的输出作为语义单元表征: $\mathbf{h}_s = \mathbf{h}[] \in \mathbb{R}^{768}$

步骤: 粗分类

$$\mathbf{p} = (W_c \mathbf{h}_s + b_c) \in \mathbb{R}^4$$

其中, $W_c \in \mathbb{R}^{4 \times 768}$ 。预测粗类别: $c = \text{argmax}(\mathbf{p})$

步骤: 细分类

根据粗类别 c 选择对应的细分类器:

$$\mathbf{p} = (W_c \mathbf{h}_s + b_c) \in \mathbb{R}^{K_c}$$

其中, K_c 是粗类 c 的子类数量 (或)。

步骤: 联合训练

损失函数结合粗分类和细分类:

$$\mathcal{L} = \alpha \cdot \mathcal{L}_1 + (1 - \alpha) \cdot \mathcal{L}_2$$

其中， $\alpha = 0.3$ 是权重系数， \mathcal{L}_1 和 \mathcal{L}_2 均为交叉熵损失。

步骤：对话行为分布统计

对一节课的所有语义单元 $\{U_1, U_2, \dots, U_N\}$ ，计算细粒度对话行为分布：

$$\mathbf{d} = \frac{1}{N} \sum_{i=1}^N \mathbf{1}^{(i)} \in \mathbb{R}^{10}$$

其中， $\mathbf{1}^{(i)}$ 是编码（维）。该分布向量作为教师的教学意图画像，能够有效区分不同教学风格。

（）对比实验：单层分类关键词规则

实验设置：

数据集：自标注的个语义单元（类标签，每类个样本）

训练验证测试：

基线方法：关键词规则；单层分类；（层次化）

实验结果（细类值）：

细类关键词规则单层相比规则提升相比单层提升

宏平均

关键发现：

显著优于关键词规则（平均提升），特别是在逻辑推导（）和案例分析（）等语义复杂的细类上；

优于单层（平均提升），验证了层次化架构的有效性，特别是在子类数量多的讲解类上提升明显（平均）；

关键词规则的局限：无法识别隐含提问（如这个地方大家有没有想法？）、无法区分逻辑推导与概念定义等细微语义差异；

的优势：能够捕捉语义和上下文信息，通过预训练获得的语言理解能力在教育场景中迁移效果好。

（）教学风格的意图分布特征

通过统计不同风格教师的细粒度意图分布，发现显著差异模式：

教学风格核心意图特征典型意图占比区分指标逻辑推导型高频使用逻辑推导

理论讲授型高频使用概念定义理论讲授

案例讲授型高频使用案例分析

启发引导型高频使用启发性提问

情感表达型高频使用正向反馈

这些意图分布特征为风格识别模型提供了强判别力的输入特征。

（）错误分析与类别混淆

通过分析在测试集上的混淆矩阵，发现主要混淆模式：

表：细分类混淆矩阵（混淆对）

真实标签预测标签混淆率原因分析

这些混淆模式揭示了教学语言的复杂性。未来可通过引入上下文窗口（前后句）或多轮对话建模进一步区分语义边界模糊的类别。

音频特征编码汇总

最终，音频模态生成维编码向量 $F_a \in \mathbb{R}^{15}$ ：

$$F_a = \left[\underbrace{p, \dots, p}_{\text{维情感}}, \underbrace{v}_{\text{语速}}, \underbrace{\cdot}_{\text{活动比}}, \underbrace{\mu, \sigma}_{\text{韵律}}, \underbrace{e}_{\text{极性}}, \underbrace{z_1, z_2, z_3}_{\text{压缩嵌入}} \right]$$

其中：前维：情感分布第维：语速 $v = N/T$ （归一化到

0,1

) 第维：语音活动比、静音比第维：音量均值、音高变化系数第维：情感极性分数
 $e = p + p - p - p$ 第维：嵌入的分段均值（维维）

文本模态同样生成维编码向量 $F_t \in \mathbb{R}^{35}$ ，包含：

维细粒度对话行为编码（类）

维粗分类编码（类）

维意图置信度

维统计特征（词数、句数、逻辑连接词频率、专业术语数等）

视频模态特征提取与创新验证

视频模态捕捉教师的非言语行为（肢体动作、空间移动、板书互动等）。本节提出**稳定追踪时序建模**的视频分析链路。

稳定追踪算法

课堂场景存在多人干扰（学生走动、举手），单纯依赖检测会导致教师在遮挡后跳变为学生。本研究采用算法，通过结合外观特征（）和运动模型（卡尔曼滤波）实现稳定追踪。

消融实验：有无的影响

实验设置：对比方法：仅检测启发式选择；评估指标：教师稳定性、平均切换次数、下游动作识别准确率

实验结果：

方法稳定性平均切换动作识别准确率

第六章教师风格画像分析系统设计与实现

第七章教师风格画像分析系统设计与实现

基于第四章验证的多模态融合模型（准确率），本章设计并实现了教师风格画像分析系统，将算法研究成果转化为可实际部署的教育应用平台。系统以数据算法画像呈现为主线，构建从课堂录像到教师风格画像的完整流程。

系统总体架构

系统设计原则

(一) 模块化与可扩展性采用微服务架构，各功能模块独立部署、独立升级模型推理与特征提取分离，支持算法版本并行运行预留扩展接口，可接入新的模态数据（如眼动、生理信号）

(二) 可解释性与教育适用性模型输出不仅包含风格分类，还提供特征贡献度与注意力权重使用教育学术语映射模型输出（如频率巡视互动积极）提供典型片段回放功能，支持教师看见被识别的行为

(三) 高性能与低延迟加速推理（优化），单段秒视频处理时间特征缓存机制，同一视频重复分析时直接读取特征（处理时间降至）批处理模式，支持节课（小时）的离线批量分析

系统总体架构

系统采用五层架构设计（见图，论文中可绘制架构图）：

用户交互层教师端：风格画像查看、特征分析、风格演变追踪教研端：批量分析、跨教师对比、数据导出应用服务层画像生成服务：雷达图、热力图、词云、时序曲线分析服务：风格相似度计算、特征可解释性分析调用模型推理层融合模型：类风格分类注意力权重输出解释器：特征贡献度计算特征向量特征提取层多模态并行处理视频流水线：音频流水线：情感识别文本流水线：对话行为识别统计原始数据数据管理层视频存储：对象存储（支持断点续传）特征缓存：（特征向量、模型输出）元数据库：（课程信息、教师档案、分析记录）

关键设计决策：

异步任务队列（）：

视频上传后立即返回任务，后台异步处理支持任务优先级（实时分析优先级

高于批量分析) 失败重试机制 (最多次, 指数退避)

三级缓存策略: 模型输出缓存 (,) : 特征向量缓存 (,) : 视频文件缓存 (, 永久)

水平扩展支持: 特征提取服务可独立扩容 (密集) 模型推理服务可独立扩容 (密集)
负载均衡 ()

技术栈选型

层次技术选型选型理由前端响应式, 丰富的图表库

后端轻量级, 易于集成

任务队列成熟的异步任务框架

模型推理加速, 推理优化

数据库关系型缓存

对象存储开源兼容, 支持私有部署

容器化一键部署, 环境隔离

监控实时性能监控

系统部署架构

(一) 单机部署模式 (适用于校内试点)

服务器配置: 部署方式: 一键启动并发能力: 同时处理个分钟视频 (并行)

(二) 分布式部署模式 (适用于区域推广)

负载均衡器: 节点应用服务器: 节点, 模型推理服务器: 节点, 数据库集群:
主从存储集群: 分布式存储 (节点)

核心功能模块设计

多模态特征提取流水线

特征提取流水线采用并行设计, 三条流水线同时处理视频音频文本。

多模态特征提取流水线视频路径开始时间时长多模态特征 vR^20, F_aR^15, F_tR^35

并行启动三条处理流水线视频流水线帧人体检测 $boxDeepSORT(boxes, select, teacher = True) // 7 : keypointsMediaPipe(frames, teacher_box) // 8 : actionsST-GCN(keypoints, window = 32, stride = 8) // 9 : F_vEncodeVideo(actions, teacher_box) // 2010 : 11 : // (0.37s) 12 : waveformLoadAudio(v, t, d, sr = 16kHz) // 160k 13 : transcriptionWhisper(waveform, lang = 'zh') // 14 : transcriptionWhisper(waveform, lang = 'en')$

```

 $zh') // 14 : h_{acoustic}Wav2Vec2(waveform) // 76815 : p_{emotion}Wav2Vec2 - Emotion(waveform)$ 
 $F_aEncodeAudio(h_{acoustic}, p_{emotion}, waveform) // 1517 : 18 : // (0.15s,) 19 : await transcription$ 
 $h_{semantic}BERT(transcription) // 76821 : p_{dialogue}H-DAR(transcription) // 1022 :$ 
 $nlp\_statsComputeNLP(transcription) // 2023 : F_tEncodeText(h_{semantic}, p_{dialogue}, nlp\_stats) /$ 
 $end parallel 25 : 26 : return F = F_v, F_a, F_t //$ 

```

关键设计：

批量推理优化：一次处理帧，减少调用开销

轨迹缓存机制：轨迹缓存，同一视频重复分析时复用

依赖调度：文本流水线等待音频转写完成，避免空闲等待

性能：总耗时（视频流水线为瓶颈）

模型推理服务

风格分类推理多模态特征 vR^20, F_aR^15, F_tR^35 Output: $R = y, p,$

```

模型前向推理 $'_v, F'_a, F'_t FeatureProjection(F_v, F_a, F_t) // 5123 : F_v, F_a, F_t CrossModalAttention($ 
 $ExtractAttentionWeights(F_v, F_a, F_t) // 5 : h_fusedBiLSTM(F_v, F_a, F_t) // 6 : h_pooledAttentionPool$ 
 $psoftmax(W_c h_pooled + b_c) // 78 : y argmax(p) // 9 : 10 : return R = 11 : style_id : y, // 0 - 612 : style_nam$ 

```

关键设计：

模型参数：参数，模型大小

推理性能：单样本推理时间（），批处理加速倍

可解释性：返回跨模态注意力权重，支持后续分析

优化策略：加速

可解释性分析模块

特征归因分析模型背景数据集 $bg(64), x Output: SHAPS = , top, plots$

```

初始化解释器 $bg) // 643 : feature_namesBuildFeatureNames() // 704 : 5 : // SHAP6 :$ 
 $allExplainer.shap_values(x) // 7 \in 70 SHAP7 : y_{pred} argmax(M(x)) // 8 : all[y_{pred}] // SHAP[] 9 :$ 
 $10 : // Top11 : indices_top argsort(||, descending = True)[0:20] // Top - 2012 : top[(feature_names[i]$ 
 $2013 : 14 : // 15 : plot_globalGlobalBarChart(feature_names) // 16 : plot_summarySummaryBeesw$ 

```

```
plot_waterfallWaterfallChart(y_pred,x)//18:19:returnS=20:shap_values://[]21:base_valu
```

可视化输出：

- ：全局特征贡献度条形图（按模态配色）
- ：特征分布散点图（展示特征值与值关系）
- ：单样本瀑布图（展示从基准值到最终预测的累积贡献）

（三）实验结果：特征贡献度分析

在个测试样本上进行分析，统计各特征对模型预测的平均绝对贡献度。

对于测试集 $\mathcal{D} = \{(x_1, y_1), (x_2, y_2), \dots, (x_N, y_N)\}$ ，特征 j 的全局重要性定义为：

$$j = \frac{1}{N} \sum_{i=1}^N |\phi_j^{(i)}|$$

其中， $\phi_j^{(i)}$ 是样本*i*中特征*j*的值， $N = 209$ 是测试样本数。

对于每个风格类别*k*，模态*m*的总体贡献度定义为：

$$k,m = \frac{1}{|\mathcal{C}_k|} \sum_{i \in \mathcal{C}_k} \sum_{j \in \mathcal{F}_m} |\phi_j^{(i)}|$$

其中， \mathcal{C}_k 是风格类别*k*的样本集合， \mathcal{F}_m 是模态*m*的特征集合（ \mathcal{F}_v 视觉特征、 \mathcal{F}_a 音频特征、 \mathcal{F}_t 文本特征）。

全局特征重要性排名（）

表：全局特征值排名

排名特征名称模态平均特征解释贡献最大的风格₀₁*Heuristic-Q*0.187

₀₅*EmotionPolarity*0.164

₀₂*walking*0.152

₀₃*Reasoning*0.143

₀₄*writing*0.128

₀₂*Definition*0.119

₀₁*VAR*0.112

₀₉*spatialfront*0.105

₀₄*CASE-Study*0.0987

$o2_s speed()$ 0.091
 $o8_Positive-FB()$ 0.085
 $o3_g esturing()$ 0.078
 $o6_{logic_connectors}()$ 0.072 "..."
 $o3_{pitch_std}()$ 0.068
 $o5_{pointing}()$ 0.064/
 $o9_{Corrective-FB}()$ 0.061
 $o8_s tanding()$ 0.058
 $o4_v olume_mean()$ 0.055
 $o5_{organization}()$ 0.052
 $o10_{spatial_center}()$ 0.049

关键发现：

文本特征主导: 中文本特征占

跨模态协同: 互动导向型同时依赖视觉 ($frontHeuristic-Q$) 特征稀疏性 20 SHAP 68

模态贡献度对比（类风格）

图：七类风格的模态贡献度堆叠柱状图

(建议插入堆叠柱状图，轴类风格，轴值总和，颜色模态)

表：各风格的模态贡献度分解

风格视觉音频文本主导模态与注意力权重一致性理论讲授型文本一致（权重）

耐心细致型音频一致（权重）

启发引导型均衡一致（权重均衡）

题目驱动型视觉一致（权重）

互动导向型视觉一致（权重）

逻辑推导型文本一致（权重）

情感表达型音频一致（权重）

验证结论：

特征贡献度与跨模态注意力权重高度一致（相关系数）

证明了模型学习到的注意力权重确实反映了真实的特征重要性

双重可解释性：注意力权重（模型内部机制）值（特征归因）相互验证

典型案例：瀑布图分析

案例：情感表达型教师（样本）

图：样本的瀑布图

(建议插入瀑布图，显示从基准值到最终预测的特征贡献累积)

关键特征贡献：

$_05_E motionPolarity(+0.28)0.58A_02_s speed(+0.14)5.2/$

$_03_g esturing(+0.12)0.42T_08_P ositive-FB(+0.11)35$

$_02_w alking(-0.08)$

解释：该教师通过丰富的语调、手势和正向反馈营造积极课堂氛围，符合情感表达型特征。唯一负贡献是走动较少（），说明该教师更依赖语言和手势而非空间移动。

案例：互动导向型教师（样本）

图：样本的瀑布图

关键特征贡献：

$_02_w alking(+0.31)0.52V_09_s patialfront(+0.18)0.68$

$_01_H euristic-Q(+0.16)18V_05_p ointing(+0.12)0.38$

$_02_D efinition(-0.09)$

解释：该教师通过高频走动、靠近学生、手势指示实现师生互动，同时结合启发性提问。负贡献是概念定义较少（），说明该教师更注重互动而非系统讲授。

案例：逻辑推导型教师（样本）

图：样本的瀑布图

关键特征贡献：

$03_{Reasoning}(+0.34)35T_06_{LogicConnectors}(+0.19)0.08'''12$

$04_{Writing}(+0.15)0.45A_01_VAR(+0.11)0.82$

$05_EmotionPolarity(-0.07)$

解释：该教师通过高频逻辑推导、密集连接词、板书演算构建严密推理链，符合逻辑推导型特征。负贡献是情感平淡（），说明该教师更注重逻辑而非情感表达。

可解释性分析总结

定量验证：

与注意力权重一致性：相关

特征稀疏性：特征贡献

模态主导模式：文本主导型（逻辑推导理论讲授）、音频主导型（情感表达耐心细致）、视觉主导型（互动导向题目驱动）

定性发现：

跨模态协同：互动导向型同时依赖视觉 ($frontHeuristic-Q$ 负贡献模式 – 0.08 – 0.07)

可追溯性：瀑布图提供从基准值到最终预测的完整推理路径

教育价值：

揭示教学风格的特征模式（如互动导向型依赖高频走动，逻辑推导型依赖密集逻辑连接词）

展现教学风格的权衡（如逻辑严密情感表达）

支撑教学风格研究（为教育学研究提供量化分析工具）

教师风格画像生成与可视化

画像生成模块将模型输出转化为多维度可视化图表，帮助教师和研究者理解教学风格特征。

风格雷达图（）

（一）数据构建

对一节分钟课程，生成个秒片段的风格预测（每个片段输出维概率分布），聚合为课程级风格评分：

```
course_style_scores(segment_predictions): """segment_predictions: List[Dict], 270Dict:
```

```
'probabilities':[],'confidence':float
```

返回课程级风格评分方法加权平均(权重置信度)
 $predictions$)
 $probs = np.array([seg['probabilities'], seg['confidence']])$
 $np.average(probs, axis=0, weights=weights)$

方法时序平滑(移动平均)
 $scores = np.convolve(weighted_scores, np.ones(5)/5, mode='same')$

$scores[]$

(二) 雷达图绘制

使用生成交互式雷达图(图):

前端代码
() 教师教学风格画像理论讲授启发引导互动导向逻辑推导题目驱动
情感表达耐心细致本节课风格历史平均风格(参考)
行为分布柱状图()

统计类动作的频率与持续时间:

```
behaviordistribution(videofeatureslist):"""
videofeatureslist:List[np.array], shape(N, 15)
names = ['standing', 'walking', 'gesturing', 'writing', 'pointing', 'raisehand']actionfreqs
np.mean([f[:6] for f in videofeatureslist], axis=0)
```

计算持续时间(假设片段)
 $frames = len(videofeatureslist)*250$
 $action_durations = action_freqs * total_frames/25$

$names, action_freqs, action_durations$

语音情绪曲线()

绘制分钟课程的情绪变化趋势:

```
emotioncurve(audiofeatureslist):"""
audiofeatureslist:List[np.array], shape(N, 15)
1-66
```

返回时序情绪曲线数据
 $points = [i*10 for i in range(len(audiofeatureslist))]$

$curves = emotion: [float(f[idx]) for f in audiofeatureslist] for idx, emotion in enumerate(emotions)$
 $points, curves: emotion_curves$

前端使用折线图展示:

```
points, name: '0', yAxis:type:'value', name: '', max:1.0, series:[name:'Happy', type:'line'],
trigger:'axis';
```

关键词云图（）

从转写文本提取高频教学术语：

```
wordcloud(transcriptions): """transcriptions: List[str], 270"""
full_text = ''.join(transcriptions)
```

分词（使用）`text`

过滤停用词与高频词的了是在`words = [w for w in words if w not in stop_words and len(w) > 1]`

```
生成词云 path = 'SimHei.ttf', background_color = 'white', max_words = 50, relative_scaling = 0.5).generate('.join(filtered_words))
```

`image()`

典型片段自动提取

根据风格识别结果，自动提取最具代表性的视频片段（用于教师回顾）：

```
typical_segments(predictions, video_path, top_k = 3): """
K
```

包含`i`'`confidence`'`time`'`video_path`:`top_k`:`K`

```
path': clip1.mp4', ...], 'guiding': [...], ...}"""
style_segments = defaultdict(list)
```

按风格分组`segments[pred['style_id']].append(pred)`

```
每种风格选 clips = for style_id, segments in style_segments.items():
    top_segments = sorted(segments, key = lambda x: x['confidence'], reverse = True)[:top_k]
```

```
裁剪视频片段 segments: clip_path = extract_video_clip(video_path, start_time = seg['time'], duration = 10, output_path = f"clips/style_id_{seg['time']}.mp4")
clips.append('time': seg['time'])
```

`clips[STYLE_LABELS[style_id]] = clips`

`clips`

风格相似度分析与追踪

风格相似度评估（）

（一）计算公式

风格相似度指数（）衡量教师实际风格与参考风格的相似度，可用于教学研究中的风格对比分析：

$$SMI = 1 - \frac{\sum_{i=1}^7 |S_{target}^{(i)} - S_{actual}^{(i)}|}{2 \times 7}$$

其中： $S_{target}^{(i)}$ ：第类风格的参考评分（可设为典型风格模板或其他教师风格）
 $S_{actual}^{(i)}$ ：第类风格的实际评分（模型预测）分母归一化因子： $2 \times 7 = 14$ （类风格，每类最大差距为）

（二）参考风格定义

用于教学研究的参考风格分布示例（不代表理想风格，仅作对比参考）：

```
STYLES = '' : [0.8, 0.2, 0.1, 0.7, 0.2, 0.1, 0.3], '+' : [0.3, 0.7, 0.6, 0.4, 0.5, 0.2, 0.4], '-' : [0.4, 0.3, 0.2, 0.6, 0.8, 0.1, 0.5]
smi(actual_scores, reference_type = '') : """
    actual_scores : []
    reference_type : -
    SMI[0,1]"""
    target_scores = TARGET_STYLES[reference_type]
    diffsum = np.sum(np.abs(np.array(actual_scores) - target_scores))
    smi = 1 - diffsum / 14
    return float(smi)
```

（三）解释说明

范围相似度等级说明应用场景高度相似风格与参考高度一致风格稳定性研究
 较为相似风格基本接近参考风格演变追踪
 存在差异风格与参考有明显差异跨类型对比研究
 显著不同风格与参考显著不同多样性分析
 说明仅用于量化风格相似度，不代表教学质量的优劣。不同的教学情境需要不同的风格，风格的适配性需要教师和教育专家根据具体情况判断。

教学风格稳定性分析

系统支持跨时间段追踪同一教师的风格分布变化，用于研究教学风格的稳定性与演变模式。

（一）风格演变数据结构

对于同一教师的多节课，系统聚合风格评分形成时间序列数据：

$$\mathcal{T} = \{(d_1, S_1), (d_2, S_2), \dots, (d_n, S_n)\}$$

其中：

d_i ：第*i*节课的日期

$S_i = [s_1^{(i)}, s_2^{(i)}, \dots, s_7^{(i)}]$: 该课程的维风格评分

n : 课程总数 (通常一学期节课)

(二) 稳定性评估指标

使用标准差衡量风格评分的波动程度:

$$\sigma_k = \sqrt{\frac{1}{n} \sum_{i=1}^n (s_k^{(i)} - \bar{s}_k)^2}$$

其中, σ_k 是第 k 类风格的标准差, \bar{s}_k 是平均评分。

稳定性分级:

$\sigma_k < 0.10$: 高度稳定 (风格特征一致)

$0.10 \leq \sigma_k < 0.20$: 较为稳定 (风格特征基本一致)

$\sigma_k \geq 0.20$: 波动明显 (风格特征随课程内容变化)

说明: 风格稳定性反映教师的教学习惯一致性, 不代表教学质量优劣。不同课程类型 (理论课、实验课、复习课) 可能需要不同的风格适配。

系统性能测试与优化

性能基准测试

在服务器上进行性能基准测试 (输入: 秒视频片段):

处理阶段耗时占用说明**特征提取阶段**

视频分帧

检测

跟踪

姿态估计

动作识别

音频转写

声学嵌入

情感分类

语义编码

对话行为识别

统计特征

小计（并行）视频音频文本并行

模型推理阶段

融合推理

解释计算

小计

画像生成阶段

可视化图表生成

总计秒秒片段

关键发现：视频处理是瓶颈（），其中姿态估计耗时最长（）推理极快（），参数的轻量级模型优势明显解释计算较慢（），可通过缓存优化

批量处理优化

（一）并行

原始串行处理（节课分钟小时视频）预计耗时小时片段小时片段小时

优化：个并行实际耗时小时小时分钟

（二）特征缓存策略

对已分析视频，缓存特征向量到：

withcache(video_path, start_time): """

首次分析(全流程)缓存命中(仅读取)*key = f"features:video_path:start_time"*

尝试从缓存读取*client.get(cache_key) if cached: return json.loads(cached)*

缓存未命中，执行提取*multimodal_features(video_path, start_time)*

写入缓存（天）*client.setex(cache_key, 73600, json.dumps(features))*

系统可扩展性测试

（一）并发能力测试

使用进行负载测试（模拟个教师同时上传视频）：

并发用户数平均响应时间响应时间成功率备注

结论：单机模式支持最多并发，超过需扩容为分布式部署。

(二) 分布式扩容方案

负载均衡（）（）处理请求特征提取推理任务队列异步任务调度

扩容后性能：并发能力：并发（单机）批量处理：节课分钟**分钟完成**（单机分钟）

存储与带宽优化

(一) 视频存储优化

存储方案单节课空间节课空间成本说明原始视频高完整保留
压缩中

仅特征向量低不可回溯原视频

推荐方案：压缩存储（），特征向量缓存（天）

(二) 带宽需求

场景上传带宽需求下载带宽需求说明实时上传分钟视频分钟上传
批量上传节后台异步上传

画像查看图表视频片段

系统应用价值分析

教育应用场景

(一) 教师风格认知场景

用户故事：张老师（数学，高中）上传了一节函数课的录像到系统。分钟后收到风格画像：理论讲授型，逻辑推导型，互动导向型。系统展示了其教学特征：提问频率

应用价值：客观认知：量化指标（提问可追溯依据：值和视频片段帮助教师理解自身特点**风格追踪**：成长曲线追踪教师风格演变

(二) 教师培训场景

用户故事：某区教育局开展新教师入职培训项目，收集位新教师的首月课程录像。系统批量分析后发现：新教师普遍存在走动不足（平均经验教师）。培训专家

据此设计针对性工作坊，个月后新教师的走动频率提升至

应用价值：群体画像：发现新教师共性问题
精准培训：针对性设计培训内容
量化评估：培训效果可量化追踪

(三) 教研评估场景

用户故事：某校开展启发式教学教改实验，对比实验组（位教师）与对照组（位教师）的风格变化。系统分析显示：实验组在一学期后，启发引导型评分平均提升（），对照组仅提升。教研组据此确认教改有效。

应用价值：对照实验：量化评估教改效果
多维对比：雷达图直观呈现差异
统计显著性：配对检验确认结果（）

系统创新点与优势

(一) 技术创新

创新点传统方法本系统教师识别人工标注自动跟踪

动作识别单帧规则（条）时序建模

情感分析自监督表征

教学意图识别关键词规则（条）对话行为识别

多模态融合简单拼接注意力融合

可解释性黑盒输出注意力权重

(二) 用户体验优势

维度传统课堂评估本系统评估周期周（专家听课）小时（自动分析）

评估成本高（专家时薪）低（摊销）

覆盖范围抽样节全量（节课）

客观性主观（专家意见）客观（模型评分）

可追溯性文字记录视频片段值

持续性一次性持续追踪（成长曲线）

(三) 潜在社会价值

促进教育公平：

偏远地区学校缺乏教研专家，系统提供标准化评估新人职教师快速获得专业反馈，缩短成长周期

支撑教育研究：积累大规模教学风格数据（规划样本）支持跨学科跨学段的教学规律研究

赋能智慧教育：可与学生行为分析系统联动（未来扩展）支持教学学习生态的多主体建模

系统局限性与改进方向

（一）当前局限性

数据集规模：

训练数据仅样本，部分风格类别缺失泛化能力需在大规模数据集（样本）上验证

实时性限制：当前片段，不支持真正的实时分析（）边缘设备（树莓派）无法运行模型

隐私保护：视频存储涉及师生肖像权，需脱敏处理模型训练数据需匿名化审查

模型可解释性：计算慢（），影响交互体验注意力权重的教育语义解释需专家验证

（二）改进方向

模型压缩与加速：

知识蒸馏：将（参数）蒸馏为模型（参数）量化加速：量化，推理速度提升倍

边缘部署：移植到移动端

数据增强与扩充：采集大规模数据集（目标样本，覆盖类风格）跨学科数据（语文数学英语物理）跨学段数据（小学初中高中大学）

多模态扩展：引入眼动追踪：分析教师视线分布（关注学生覆盖率）引入生理信号：心率皮肤电等情绪客观指标引入学生反馈：课堂专注度、理解度实时采集

隐私保护技术：人脸声音脱敏：骨架文本替代原始视频联邦学习：分布式训练，数据不出校差分隐私：模型输出添加噪声，防止逆向推断

本章小结

本章基于第四章验证的多模态融合模型（准确率），设计并实现了教师风格画像分析系统，将算法研究成果转化为可实际部署的教育应用平台。

（一）系统架构与技术实现

系统采用五层架构设计（数据管理特征提取模型推理画像生成用户交互），关键技术包括：**并行**：视频音频文本三条流水线同时处理，总耗时片段

异步任务队列：支持批量处理与失败重试

三级缓存策略：缓存特征向量，重复分析耗时降至

（二）核心功能模块

多模态特征提取：

视频：（维编码）音频：情感识别（维编码）文本：语义分段层次化对话行为识别统计（维编码）

风格画像生成：雷达图：类风格评分可视化行为柱状图：类动作频率统计情绪曲线：分钟时序情感变化关键词云：高频教学术语典型片段：自动提取代表性视频片段

风格分析功能：风格相似度评估（公式化计算）成长曲线追踪（线性回归趋势分析）可解释性分析（特征贡献度）

（三）性能与应用价值

性能表现：

单机并发：支持用户同时分析批量处理：节课分钟分钟完成分布式扩容后：分钟完成（加速）

应用场景：教师风格认知：数据驱动的客观呈现教师培训：群体画像发现共性问题教研评估：量化评估教改效果

创新优势：评估周期：周小时客观性：专家主观模型覆盖范围：抽样节全量节可追溯性：文字记录视频片段值

（四）局限性与展望

当前局限：数据集规模（样本）、实时性（）、隐私保护

改进方向：模型压缩（量化）、数据扩充（样本）、多模态扩展（眼动生理信号）、联邦学习（隐私保护）

总体而言，本系统实现了从课堂录像到教师风格画像的完整流程，验证了多模态深度学习在教育分析领域的实用价值，为智慧教育提供了新的技术路径。实验结果表明，系统能够高效、稳定地识别教师风格类型，生成具有可解释性与教育

意义的可视化画像，为教学风格研究和课堂分析提供客观依据。

第八章总结与展望

研究总结

本研究针对传统课堂评价方法主观性强、反馈滞后、覆盖面窄等问题，提出并实现了基于多模态深度学习的教师教学风格画像分析系统。通过融合视频、音频、文本三种模态数据，构建了从课堂录像到风格画像的端到端智能分析框架，为教学风格研究和课堂分析提供了科学、客观、精细化的数据支撑。

主要研究成果

本研究在理论创新、技术突破和应用实践三个层面取得了以下成果：

(一) 理论贡献

多模态教学风格建模框架：系统梳理了教学风格识别技术从单一模态到多模态、从手工特征到深度学习、从简单融合到跨模态交互的演进路径，提出了基于跨模态注意力机制（）的多模态融合新范式。

教学风格量化表征体系：定义了七类具有区分力的教学风格（理论讲授型、耐心细致型、启发引导型、题目驱动型、互动导向型、逻辑推导型、情感表达型），构建了包含维特征的多模态表征空间，为教学风格的客观量化提供了理论基础。

可解释在教育评价中的应用：通过注意力权重可视化与特征归因分析，建立了模型决策到教育语义的映射机制，增强了智能系统在教育场景中的可信度与可用性。

(二) 技术创新

音频模态创新：

采用自监督学习模型提取深度声学表征，相比传统特征准确率提升个百分点在噪声环境下（）性能提升个百分点，显著增强了鲁棒性设计了基于情感极性分数的韵律特征编码方法，有效捕捉教师情感投入水平

文本模态创新：引入基于的对话行为识别（），将教师话语从内容分析提升至教学意图识别相比关键词规则方法，值提升（特别是类别提升）能够识别隐含提问等复

杂语义模式

视频模态创新: 集成算法实现稳定的教师身份追踪，稳定性提升个百分点采用时空图卷积网络建模骨骼序列，相比单帧规则识别准确率提升个百分点推理速度比光流方法快倍，且骨骼表征保护隐私

多模态融合创新: 提出跨模态注意力网络，通过机制实现模态间的自适应交互风格识别准确率达到

第九章总结与展望

研究总结

本研究针对传统课堂评价方法主观性强、反馈滞后、覆盖面窄等问题，提出并实现了基于多模态深度学习的教师教学风格画像分析系统。通过融合视频、音频、文本三种模态数据，构建了从课堂录像到风格画像的端到端智能分析框架，为教学风格研究和课堂分析提供了科学、客观、精细化的数据支撑。

主要研究成果

本研究在理论创新、技术突破和应用实践三个层面取得了以下成果：

(一) 理论贡献

多模态教学风格建模框架：系统梳理了教学风格识别技术从单一模态到多模态、从手工特征到深度学习、从简单融合到跨模态交互的演进路径，提出了基于跨模态注意力机制（）的多模态融合新范式。

教学风格量化表征体系：定义了七类具有区分力的教学风格（理论讲授型、耐心细致型、启发引导型、题目驱动型、互动导向型、逻辑推导型、情感表达型），构建了包含维特征的多模态表征空间，为教学风格的客观量化提供了理论基础。

可解释在教育评价中的应用：通过注意力权重可视化与特征归因分析，建立了模型决策到教育语义的映射机制，增强了智能系统在教育场景中的可信度与可用性。

(二) 技术创新

音频模态创新：

采用自监督学习模型提取深度声学表征，相比传统特征准确率提升个百分点

在噪声环境下（）性能提升个百分点，显著增强了鲁棒性

设计了基于情感极性分数的韵律特征编码方法，有效捕捉教师情感投入

水平

文本模态创新：

引入基于的对话行为识别（），将教师话语从内容分析提升至教学意图识别

相比关键词规则方法，值提升（特别是类别提升）

能够识别隐含提问等复杂语义模式

视频模态创新：

集成算法实现稳定的教师身份追踪，稳定性提升个百分点

采用时空图卷积网络建模骨骼序列，相比单帧规则识别准确率提升个百分点

推理速度比光流方法快倍，且骨骼表征保护隐私

多模态融合创新：

提出跨模态注意力网络，通过机制实现模态间的自适应交互

风格识别准确率达到，显著优于简单拼接（）和结果加权（）

消融实验证实跨模态注意力模块贡献个百分点 ($p < 0.01$)

(三) 应用价值

系统设计与实现：

构建了五层架构的教师风格画像分析系统，支持从视频上传到画像生成的完整流程

单节课（分钟）分析耗时约小时，批量处理节课耗时分钟（分布式部署可降至分钟）

系统支持并发用户，满足校内规模化应用需求

可视化与分析：

生成风格雷达图、行为柱状图、情绪曲线、关键词云、典型片段等多维度可视化图表

提供风格相似度分析、特征贡献度等可解释性分析

支持成长曲线追踪，通过线性回归分析教师风格演变趋势

教育应用场景：

教师风格认知：提供数据驱动的客观风格画像

教师培训：发现新教师共性问题，设计针对性培训内容

教研评估：量化评估教改效果，支持对照实验设计

实验验证结论

通过在自建的教师风格数据集（个样本，类风格）上的系统实验，本研究得出以下结论：

多模态融合的必要性：单模态方法最佳准确率为（视频），多模态融合提升至，证明了模态互补的重要性。

跨模态注意力的有效性：相比简单拼接提升个百分点，相比提升个百分点（配对检验 $p < 0.01$ ），验证了跨模态交互机制的优越性。

模态重要性的风格差异：

情感表达型教师最依赖音频特征（权重）

互动导向型教师最依赖视觉特征（权重）

逻辑推导型教师最依赖文本特征（权重）

这些发现为教师提供了具体的改进方向

可解释性分析的价值：特征归因揭示了提问频率、走动比例、情感极性等关键特征对风格识别的贡献度，为教师提供了可信的改进依据。

研究局限性

尽管本研究取得了一定成果，但仍存在以下局限性：

数据层面的局限

数据集规模有限：

训练数据仅个样本，部分风格类别样本不足个

数据主要来自中学数学课堂，跨学科、跨学段泛化能力有待验证

需要扩充至样本规模以提升模型鲁棒性

标注质量依赖专家：

风格标签由教育专家人工标注，存在一定主观性

系数为，虽达到实质性一致但仍有提升空间

需要建立更标准化的标注规范和多轮标注机制

缺乏长期追踪数据：

当前数据为单次课堂快照，缺乏同一教师多次课堂的纵向数据

难以验证系统对教师风格演变的追踪能力

需要建立长期追踪机制以支持成长曲线分析

技术层面的局限

实时性不足：

当前处理速度为片段，不支持真正的实时分析（）

姿态估计耗时占比最高（），成为性能瓶颈

需要模型压缩（量化、知识蒸馏）和硬件优化

缺失模态鲁棒性：

当前模型假设所有模态都可用，未处理音频缺失、视频遮挡等情况

需要研究基于注意力门控的缺失模态鲁棒融合方法

可借鉴的思路

可解释性仍待提升：

计算耗时较长（），影响交互体验

注意力权重的教育语义解释需要更多专家验证

需要开发更高效的可解释性分析方法（如）

应用层面的局限

隐私保护问题：

视频存储涉及师生肖像权，需要脱敏处理

模型训练数据需要匿名化审查

需要引入联邦学习、差分隐私等隐私保护技术

跨文化适应性：

教学风格定义受文化背景影响，当前分类体系基于中国课堂

需要研究跨文化的教学风格建模方法

可与国际同行合作建立多元化数据集

教师接受度：

部分教师对智能评价系统存在抵触情绪

需要加强系统的教育价值宣传和使用培训

强调系统是辅助工具而非评判标准

未来研究方向

基于上述研究成果与局限性分析，本研究提出以下未来研究方向：

模型优化与扩展

大规模数据集构建：

目标：扩充至样本，覆盖小学、初中、高中、大学四个学段

学科：语文、数学、英语、物理、化学、生物等主要学科

区域：东部、中部、西部地区代表性学校

标注：建立三轮标注机制（初标专家复核仲裁），提升至

模型压缩与加速：

知识蒸馏：将（参数）蒸馏为模型（参数），保持性能

量化加速：量化，推理速度提升倍

边缘部署：移植到，支持录播终端实时分析

目标：实现片段的实时处理

缺失模态鲁棒融合：

研究基于注意力门控（）的缺失模态补偿机制

设计模态重要性自适应调整策略

验证在音频缺失、视频遮挡等场景下的性能

多模态扩展

眼动追踪：

引入眼动仪采集教师视线分布

分析教师对学生的关注覆盖率（前排后排）

识别扫视注视回避等视线模式

生理信号：

引入可穿戴设备采集心率、皮肤电等生理指标

客观评估教师情绪状态（焦虑、兴奋、平静）

结合语音情感分析，提升情感识别准确率

学生反馈：

引入学生端数据（专注度、理解度、情感状态）

构建师生交互的双主体建模

研究教师风格对学生学习效果的影响机制

隐私保护与伦理**联邦学习：**

研究分布式训练方法，数据不出校

各校本地训练，仅上传模型参数

保护师生隐私的同时共享模型能力

差分隐私：

在模型输出中添加噪声，防止逆向推断

平衡隐私保护与分析精度

骨骼表征替代原始视频：

仅存储骨骼序列（维）而非原始视频（维）

既保护隐私又支持动作识别

研究展望

教师教学风格画像分析是教育人工智能领域的前沿方向，具有广阔的研究空间与应用前景。展望未来，本研究提出以下愿景：

技术层面：

构建覆盖样本的大规模教学风格数据集，成为领域标准数据集

开发轻量化实时模型，支持录播终端边缘部署

建立多模态教学行为分析开源工具链，推动领域技术普及

应用层面：

在所试点学校推广应用，积累节课堂数据

为教师提供个性化教学反馈

支撑区域教学质量评估与教师专业发展

理论层面：

揭示教学风格与学习效果的因果关系

建立跨文化、跨学科的教学风格理论体系

推动教育评价从主观经验向数据驱动转型

本研究虽然取得了一定成果，但教师风格画像分析仍是一个复杂的系统工程，需要教育学、心理学、计算机科学等多学科的深度融合。我们期待与同行一道，不断推动这一领域的理论创新与技术进步，为智慧教育的发展贡献力量。

姿态估计

$\in \mathbb{R}^{768}$

`weights://v:0.35, a:0.28, t:0.3716:..., year = 2024`

提取特征`topargsort(||, descending = True)[0 : 20]//Top - 2012 : to..., year = 2024`

课程级风格评分方法加权平均（权重置信度）

（二）雷达图绘制

实际风格评分`type::SMI[0, 1]"""target_scores = TA..., year = 2024`

参考文献

攻读硕士学位期间科研情况

■学术论文

真实名字导师真实名字其余作者文章题目文献标识符后续与参考文献格式完全一致会议缩写发布时间，类别，是否已发表

，类，已发表

■发明专利

发明专利

发明专利

